

МИНИСТЕРСТВО НАУКИ И ВЫСШЕГО ОБРАЗОВАНИЯ РОССИЙСКОЙ ФЕДЕРАЦИИ
Федеральное государственное автономное образовательное учреждение
высшего образования
«СЕВЕРО-КАВКАЗСКИЙ ФЕДЕРАЛЬНЫЙ УНИВЕРСИТЕТ»
Невинномысский технологический институт (филиал)

МЕТОДЫ РЕШЕНИЯ НЕЛИНЕЙНЫХ УРАВНЕНИЙ И СИСТЕМ

Методические указания к выполнению лабораторных работ
15.03.04 Автоматизация технологических процессов и произ-
водств

Невинномысск 2021

В методических указаниях изложены основные сведения о методах решения нелинейных математических задач с помощью современных программных средств.

Составитель *канд. техн. наук, доцент Д.В. Болдырев*

Отв. редактор *канд. техн. наук А.А. Евдокимов*

СОДЕРЖАНИЕ

ВВЕДЕНИЕ	4
1 ТЕОРЕТИЧЕСКАЯ ЧАСТЬ	4
1.1 Решение нелинейных уравнений	4
1.2 Интервальные методы решения нелинейных уравнений	7
1.3 Поисковые методы решения нелинейных уравнений	10
1.4 Решение полиномиальных уравнений	15
1.5 Решение систем нелинейных уравнений	19
2 РЕШЕНИЕ НЕЛИНЕЙНЫХ ЗАДАЧ В MathCAD	22
3 ПОРЯДОК ВЫПОЛНЕНИЯ РАБОТЫ	27
КОНТРОЛЬНЫЕ ВОПРОСЫ	29
ЛИТЕРАТУРА	29
ПРИЛОЖЕНИЯ	30

ВВЕДЕНИЕ

Целью работы является усвоение студентом основных методов решения нелинейных уравнений и их систем и получение навыков выполнения этих операций с помощью современных программных средств.

1 ТЕОРЕТИЧЕСКАЯ ЧАСТЬ

1.1 Решение нелинейных уравнений

Методы поиска корней применяются, если необходимо решить задачу вида:

$$f(x) = 0, \quad (1.1)$$

где $f(x)$ — некоторая нелинейная функция.

Если уравнение (1.1) содержит только алгебраические функции (степенные, рациональные и т. п.), оно считается **алгебраическим**. Если в его состав входят другие функции (тригонометрические, показательные, логарифмические и т. п.), оно считается **трансцендентным**.

Методы поиска корней уравнений бывают двух видов.

Прямые (аналитические) методы целесообразно использовать, когда исходное уравнение можно явно разрешить относительно величины x , или можно получить некоторые конечные соотношения для расчета корней (пример — формулы Кардано вычисления корней полиномов до 4-го порядка включительно). Эти методы всегда обеспечивают получение *точного решения*.

Итерационные (численные) методы работают по принципу многократного применения одного и того же алгоритма, который всегда включает в себя следующие этапы:

- отыскание приближенного значения корня или содержащего его интервала значений x ;

- последовательное уточнение приближенного значения корней до достижения некоторой заданной степени точности.

Каждый шаг подобного уточнения называется *итерацией*.

Итерационные методы бывают одношаговые и многошаговые. *Одношаговые методы* для нахождения последующего значения $x^{(k)}$ на k -м шаге используют информацию только об одной предыдущей итерации:

$$x^{(k)} = \phi[x^{(k-1)}], \quad (1.2)$$

где $\phi[x^{(k-1)}]$ — оператор преобразования, определяемый выбранным алгоритмом.

Многошаговые методы при решении используют информацию о двух и более предыдущих итерациях:

$$x^{(k)} = \phi[x^{(k-1)}, x^{(k-2)}, \dots, x^{(k-m)}]. \quad (1.3)$$

В ходе итераций формируется последовательность значений корня $\{x^{(k)}, k = 0, 1, \dots, \infty\}$. Если существует предел $\lim_{k \rightarrow \infty} x^{(k)}$, то говорят, что итерационный процесс *сходится*. Если такого предела не существует, вычислительный процесс *расходится*. Обычно за конечное число итераций этот предел не достигается, поэтому работа метода продолжается до выполнения некоторого условия. Рациональным считается использование комбинации критериев:

$$\left| f[x^{(k)}] \right| < \varepsilon \cdot \left\{ 1 + \left| f[x^{(k)}] \right| \right\}, \quad (1.4)$$

$$\left| x^{(k)} - x^{(k-1)} \right| < \sqrt{\varepsilon} \cdot \left\{ 1 + \left| x^{(k)} \right| \right\}, \quad (1.5)$$

где ε — точность решения. Выполнение условия (1.4) позволит избежать преждевременной остановки метода на участке функции $f(x)$ с большой крутизной и малым изменением аргумента. Соблюдение критерия (1.5) гарантирует, что работа метода будет продол-

жаться на пологих участках $f(x)$.

Решение, полученное любым численным методом, всегда является *приближенным*, хотя оно может быть сколь угодно близко к точному решению.

Итерационные методы делятся на две группы.

Интервальные алгоритмы ведут поиск на отрезке значений аргумента $x \in [a, b]$, который включает в себя корень.

Теорема. Если $f(x)$ — действительная функция, непрерывная в интервале от $x = a$ до $x = b$, где a и b — действительные числа, и если значения $f(a)$ и $f(b)$ имеют противоположные знаки, то между a и b имеется по крайней мере один действительный корень.

Приближенное значение корня на k -й итерации выбирается из условия $a \leq x^{(k)} \leq b$. Алгоритмы методов всегда содержат шаг, на котором исходная функция $f(x)$ исследуется на границах отрезков $[a, x^{(k)}]$ и $[x^{(k)}, b]$. В качестве нового отрезка поиска выбирается тот, на границах которого $f(x)$ имеет значения разных знаков (произведение $f(a)f(x)$ или $f(b)f(x)$ отрицательно).

Достоинство этих методов — абсолютная надежность. Если функция $f(x)$ на отрезке $x \in [a, b]$ непрерывна и имеет там корень, он обязательно будет обнаружен.

Недостатки методов — необходимость предварительного знания отрезка локализации корня и большое число расчетов функции $f(x)$. Если эти расчеты достаточно сложны, быстродействие алгоритма значительно снижается.

Поисковые алгоритмы для своей работы требуют задания единственного начального приближения корня, которое корректируется по некоторым правилам. Их *достоинство* — высокая скорость сходимости (обычно на порядок выше, чем у методов предыдущей группы). Их *недостаток* — высокая чувствительность к выбору начального приближения. Его некорректное задание приводит к тому, что итерационный процесс *расходится или зацикливается*.

1.2 Интервальные методы решения нелинейных уравнений

Такие методы используют следующий обобщенный алгоритм:

ОПРЕДЕЛЕНИЕ ИСХОДНЫХ ДАННЫХ:

a, b – границы отрезка поиска

ε – точность поиска

ПОКА НЕ НАЙДЕН КОРЕНЬ, ВЫПОЛНИТЬ

// Определение нового приближения x

$x \leftarrow \phi(a, b)$

// Анализ функции в точках a, x, b

ЕСЛИ $f(a) \cdot f(x) > 0$ $a \leftarrow x$

ИНАЧЕ $b \leftarrow x$

В методе половинного деления (или методе бисекции, или методе Больцано) в качестве приближения корня используется координата середины отрезка $[a, b]$:

$$\phi(a, b) = \frac{a + b}{2}. \quad (1.6)$$

В методе хорд (или методе ложного положения) приближением корня считается координата точки пересечения хорды AB с горизонтальной осью. Ее уравнение имеет вид:

$$\frac{f(x) - f(a)}{f(b) - f(a)} = \frac{x - a}{b - a}. \quad (1.7)$$

Выражение для расчета координаты точки пересечения AB с осью OX (при $f(x) = 0$) определяет форму функции ϕ :

$$\phi(a, b) = a - \frac{f(a)}{f(b) - f(a)} \cdot (b - a). \quad (1.8)$$

Схемы работы этих методов показаны на рисунке 1.1.

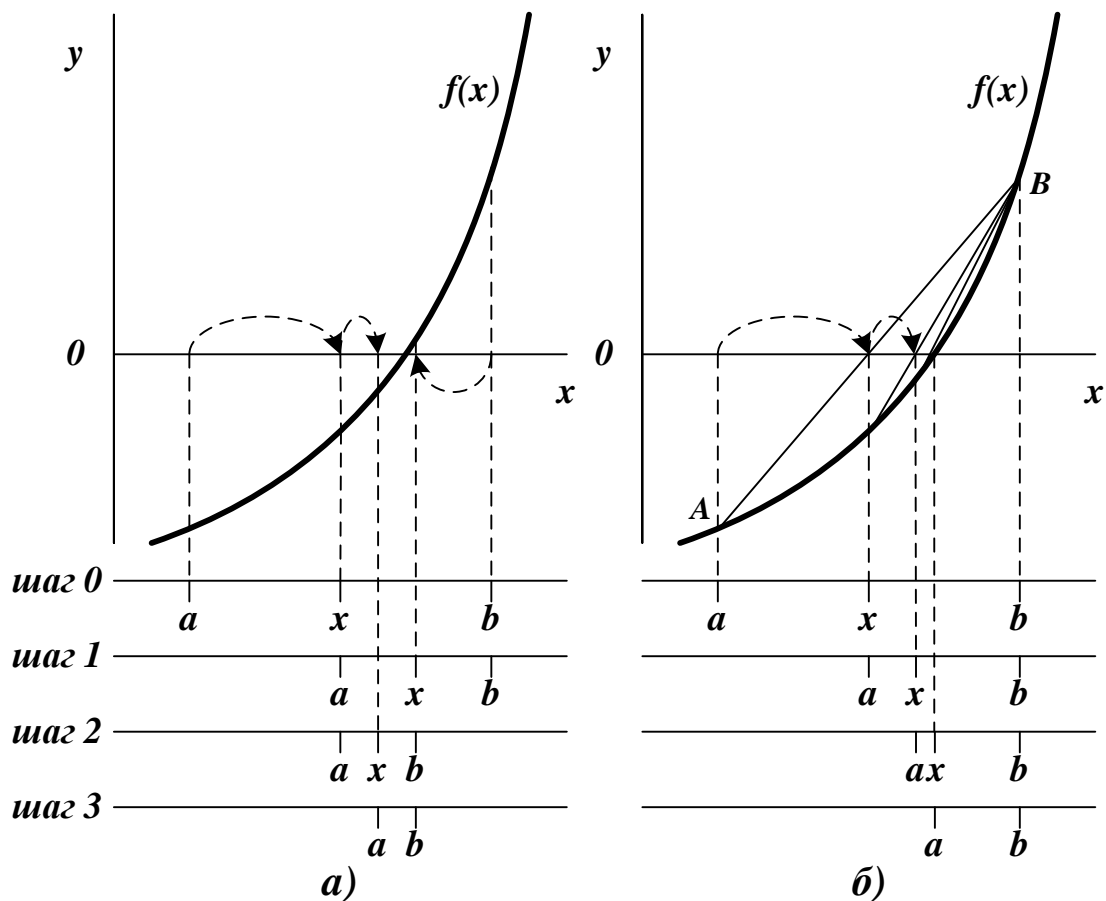


Рисунок 1.1 — Схемы работы интервальных методов: а) метод половинного деления; б) метод хорд

В общем случае для не плавных функций метод хорд обеспечивает более быструю сходимость.

В методе **обратной параболической интерполяции** используется функция $\varphi(x)$, обратная $f(x)$. Если x — корень уравнения (1.1), то $\varphi(0) = x$. Функция $\varphi(x)$ приближенно заменяется параболой, уравнение которой находится с помощью обратного интерполяционного полинома Ньютона [1] (для этого на отрезке $[a, b]$ необходимо любым способом получить одну внутреннюю точку c):

$$\begin{aligned} \varphi(x) &= k_0 + k_1 \cdot [f(x) - f(a)] + \\ &+ k_2 \cdot [f(x) - f(a)] \cdot [f(x) - f(c)] , \\ \varphi(0) = x &= k_0 - k_1 \cdot f(a) + k_2 \cdot f(a) \cdot f(c) , \end{aligned} \quad (1.9)$$

где $f(x) = 0$ — желаемое значение функции в точке x . Коэффициенты k_0, k_1 и k_2 находятся из системы уравнений:

$$\begin{cases} k_0 = a \\ k_0 + k_1 \cdot [f(c) - f(a)] = c \\ k_0 + k_1 \cdot [f(b) - f(a)] + k_2 \cdot [f(b) - f(a)] \cdot [f(b) - f(c)] = b \end{cases} \quad (1.10)$$

Данный метод использует следующий алгоритм.

ОПРЕДЕЛЕНИЕ ИСХОДНЫХ ДАННЫХ:

a, b границы отрезка поиска

ε – точность поиска

c ← (**a** + **b**) / 2 – внутренняя точка

ПОКА НЕ НАЙДЕН КОРЕНЬ, ВЫПОЛНИТЬ

// Определение нового приближения **x**

k₀ ← **a**

k₁ ← [**c** - **k**₀] / [**f**(**c**) - **f**(**a**)]

k₂ ← [**b** - **k**₀ - **k**₁·**f**(**b**) - **f**(**a**)] /
[**f**(**c**) - **f**(**a**)] / [**f**(**b**) - **f**(**c**)]

x ← **k**₀ - **k**₁·**f**(**a**) + **k**₂·**f**(**a**)·**f**(**c**)

// Половинное деление при неудачной

// интерполяции, если **x** ∉ [**a**, **b**]

ЕСЛИ (**x** - **a**)·(**b** - **x**) < 0 **x** ← (**a** + **b**) / 2

// Сужение отрезка поиска.

ЕСЛИ **f**(**a**)·**f**(**c**) > 0 **a** ← **c**

ИНАЧЕ **b** ← **c**

c ← **x**

Схема одного этапа работы метода показана на рисунке 1.2. Метод обратной параболической интерполяции обеспечивает высокую скорость сходимости (для гладких функций решение находится за 6-8 шагов).

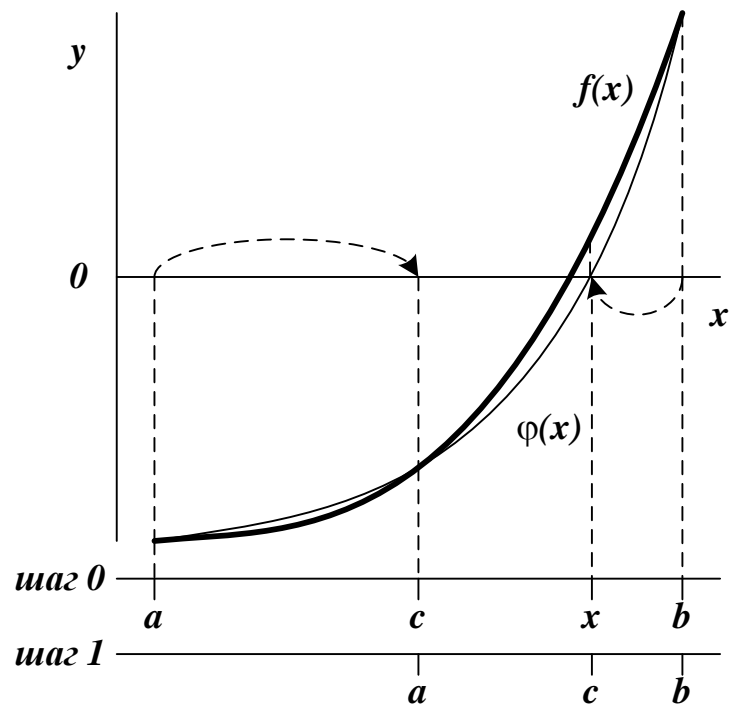


Рисунок 1.2 — Схема работы метода обратной параболической интерполяции

1.3 Поисковые методы решения нелинейных уравнений

Такие методы используют следующий обобщенный алгоритм:

ОПРЕДЕЛЕНИЕ ИСХОДНЫХ ДАННЫХ:

$\mathbf{x}^{(0)}$ — начальное приближение корня

ε — точность поиска

$\mathbf{k} \leftarrow 0$ // Начальный номер итерации

ПОКА НЕ НАЙДЕН КОРЕНЬ, ВЫПОЛНИТЬ

// Определение нового приближения \mathbf{x}

$\mathbf{x}^{(k+1)} \leftarrow \phi(\mathbf{x}^{(k)})$

$\mathbf{k} \leftarrow \mathbf{k} + 1$

Метод простых итераций заключается в том, что из (1.1) явно выражается x и формируется эквивалентное уравнение:

$$x = \phi(x). \quad (1.11)$$

Итерации строятся по правилам:

$$x^{(k+1)} = \phi[x^{(k)}]. \quad (1.12)$$

Метод сходится только в том случае, если выполняется условие $|\phi'(x)| < 1$. Это существенно ограничивает область его применения.

Схемы работы метода простых итераций при различной сходимости показаны на рисунке 1.3.

В **методе релаксации** используется следующая итерационная формула:

$$x^{(k+1)} = \phi[x^{(k)}] = x^{(k)} - \tau \cdot f[x^{(k)}], \quad (1.13)$$

где значение константы τ выбирается из условия сходимости:

$$\begin{aligned} \phi(x) &= x - \tau \cdot f(x), \\ |\phi'(x)| &= |1 - \tau \cdot f'(x)| < 1, \\ 0 &< \tau \cdot f'(x) < 2. \end{aligned} \quad (1.14)$$

Если в некоторой области корня выполняются условия

$$0 < m < |f'(x)| < M, \quad (1.15)$$

где m и M — положительные константы, то метод релаксации сходится при $\tau \in (0, 2/M)$. Удачным выбором считается значение $\tau = 2/(M + m)$.

В **методе Ньютона** (или методе касательных) функция $f(x)$ заменяется линейным разложением в ряд Тейлора в точке $x^{(k)}$:

$$f(x) \approx f[x^{(k)}] + f'[x^{(k)}] \cdot [x - x^{(k)}]. \quad (1.16)$$

За следующее приближение $x^{(k+1)}$ принимается корень уравнения (1.16) (при $f(x) = 0$):

$$x^{(k+1)} = \phi[x^{(k)}] = x^{(k)} - \frac{f[x^{(k)}]}{f'[x^{(k)}]}. \quad (1.17)$$

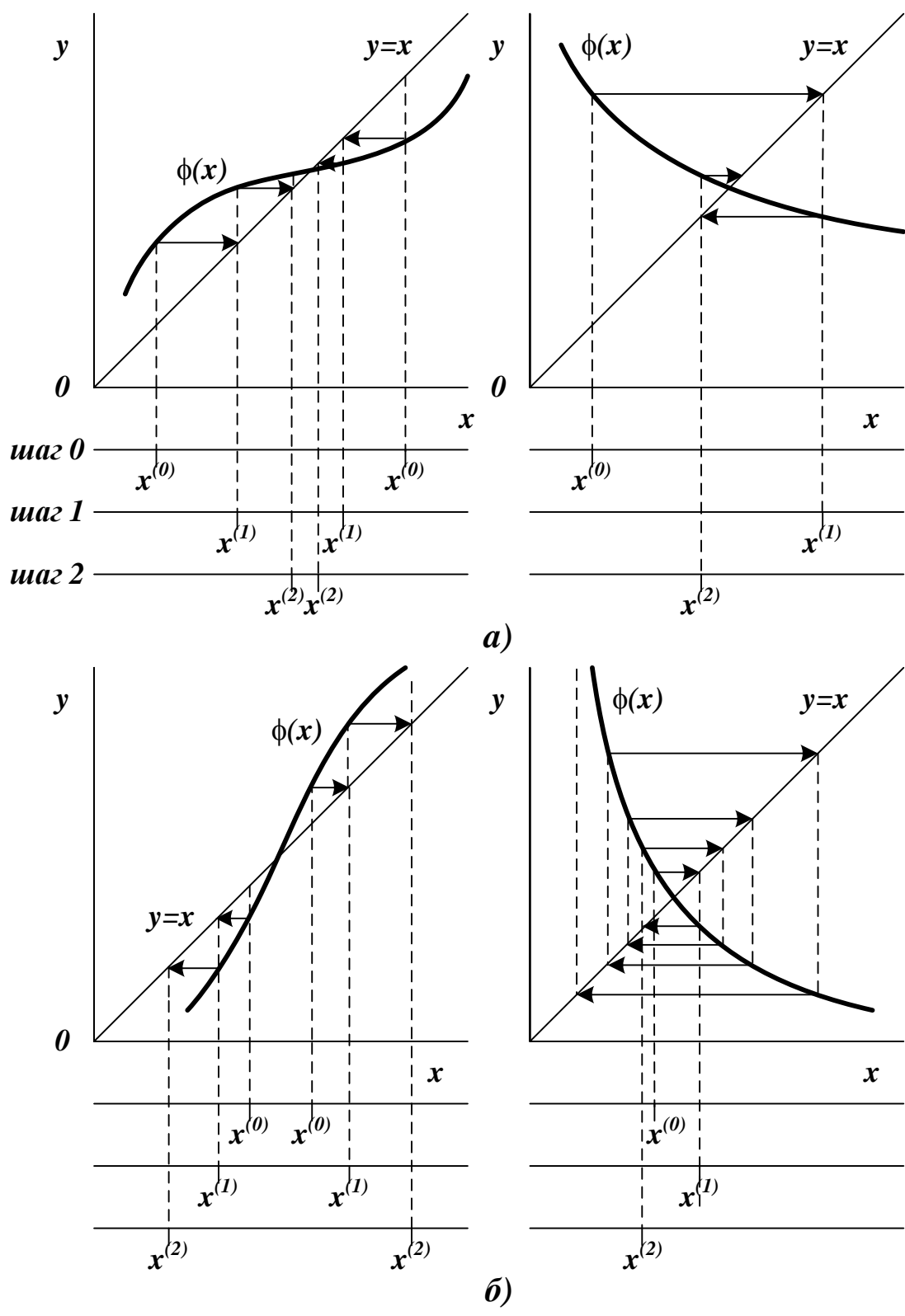


Рисунок 1.3 — Схемы работы метода простых итераций: а) при наличии сходимости; б) при отсутствии сходимости

Геометрическая интерпретация метода Ньютона заключается в замене функции $f(x)$ касательной в точке $x^{(k)}$ (отсюда второе название алгоритма) и определения координаты точки пересечения этой касательной с горизонтальной осью. Схема работы метода Ньютона показана на рисунке (1.4, а).

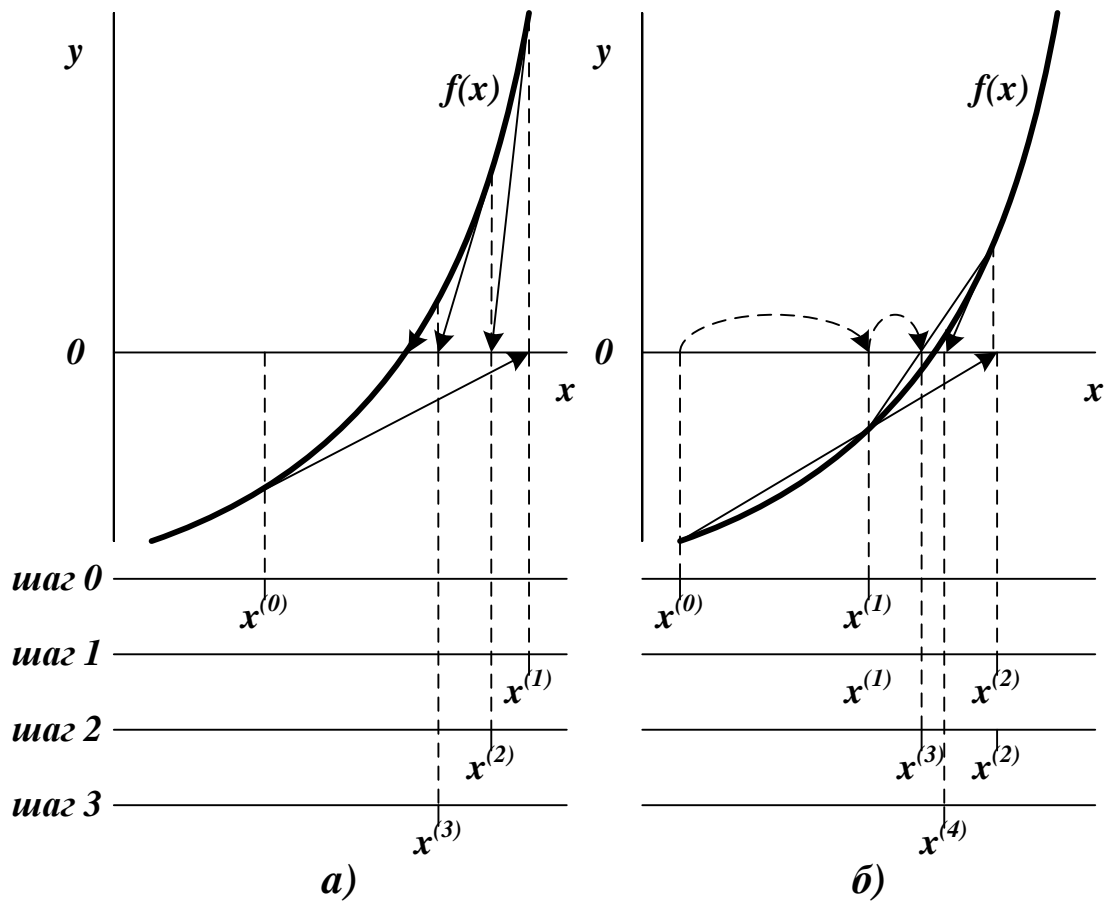


Рисунок 1.4 — Схемы работы поисковых методов: а) метода Ньютона; б) метода секущих

Метод Ньютона обеспечивает высокую скорость сходимости (для гладких функций — **4-8** итераций). Начальное приближение $x^{(0)}$ рекомендуется выбирать там, где выполняется условие:

$$f[x^{(0)}] \cdot f''[x^{(0)}] \geq 0. \quad (1.18)$$

Ошибки при выборе $x^{(0)}$ могут являться причиной некорректной работы алгоритма (см. рис. 1.5).

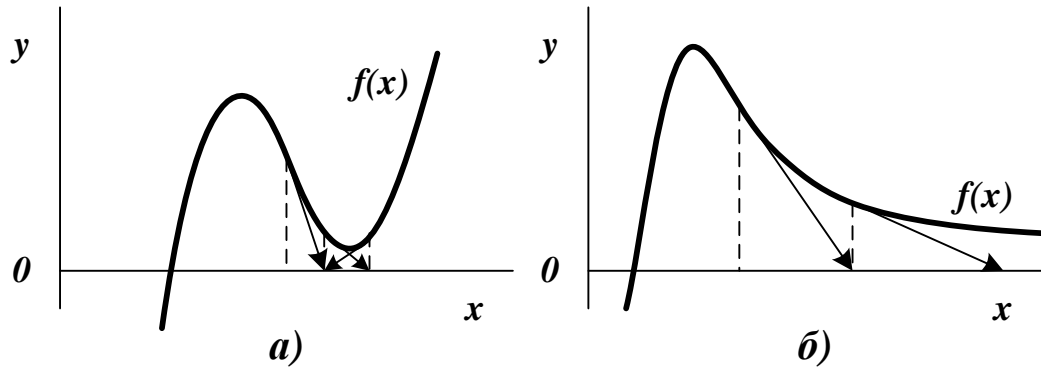


Рисунок 1.5 — Некорректная работа метода Ньютона: а) метод заикливается; б) итерации расходятся

Если хотят избежать многократного вычисления производной $f'(x)$, то используют следующую модификацию метода Ньютона:

$$x^{(k+1)} = \phi[x^{(k)}] = x^{(k)} - \frac{f[x^{(k)}]}{f'[x^{(0)}]}. \quad (1.19)$$

Модифицированный метод Ньютона предъявляет меньше требований к выбору начального приближения корня и гарантирует отсутствие деления на 0 при $f'[x^{(0)}] \neq 0$. Однако скорость его сходимости падает.

Если вычисление производной от функции $f(x)$ затруднено или нецелесообразно, можно использовать ее приближенное разностное представление:

$$f'[x^{(k)}] \approx \frac{f[x^{(k)}] - f[x^{(k-1)}]}{x^{(k)} - x^{(k-1)}}. \quad (1.20)$$

Так формируется вычислительная схема **метода секущих**:

$$x^{(k+1)} = \phi[x^{(k)}] = x^{(k)} - \frac{f[x^{(k)}]}{f[x^{(k)}] - f[x^{(k-1)}]} \cdot [x^{(k)} - x^{(k-1)}]. \quad (1.21)$$

Геометрическая интерпретация метода состоит в следующем. Через точки с координатами $\{x^{(k)}, f[x^{(k)}]\}$ и $\{x^{(k-1)}, f[x^{(k-1)}]\}$ проводится прямая линия. Новым приближением корня $x^{(k+1)}$ является точка

ее пересечения с горизонтальной осью. Если $x^{(k+1)} \in [x^{(k-1)}, x^{(k)}]$, то метод секущих становится эквивалентным методу хорд. Схема работы алгоритма показана на рисунке (1.4, б).

Метод является многошаговым, поэтому для начала его работы необходимо задание двух исходных значений — $x^{(0)}$ и $x^{(1)}$.

1.4 Решение полиномиальных уравнений

Полиномиальные уравнения с действительными коэффициентами имеют вид:

$$f(x) = a_n \cdot x^n + \dots + a_2 \cdot x^2 + a_1 \cdot x + a_0 = A_n(x) = 0. \quad (1.22)$$

Они обладают следующими свойствами.

1. Уравнение степени n всегда имеет n корней (возможно кратных). Корни могут быть как действительными, так и комплексными (см. рис. 1.5). Комплексные корни образуют сопряженные пары:

$$\begin{aligned} x^* &= \alpha + j \cdot \omega, & \bar{x}^* &= \alpha - j \cdot \omega, \\ [x - x^*] \cdot [x - \bar{x}^*] &= [x - (\alpha + j \cdot \omega)] \cdot [x - (\alpha - j \cdot \omega)] = & (1.23) \\ &= x^2 - 2 \cdot \alpha \cdot x + (\alpha^2 + \omega^2) = x^2 + p \cdot x + q. \end{aligned}$$

Уравнение нечетной степени всегда имеет хотя бы один действительный корень.

2. Если x_R — действительный корень уравнения (1.22), то справедливо соотношение:

$$A_n(x) = (x - x_R) \cdot B_{n-1}(x), \quad (1.24)$$

где $B_{n-1}(x)$ — полином степени $n-1$, образованный путем сокращения уравнения (1.22) на $(x - x_R)$. Степень исходного уравнения при этом понижается на 1.

3. Если x_C и \bar{x}_C — пара комплексно-сопряженных корней уравнения (1.22), то справедливо соотношение:

$$A_n(x) = (x - x_C) \cdot (x - \bar{x}_C) \cdot B_{n-2}(x), \quad (1.25)$$

где $B_{n-2}(x)$ — полином степени $n-2$, образованный путем сокращения исходного уравнения на $(x - x_C) \cdot (x - \bar{x}_C)$. Степень исходного уравнения при этом понижается на 2.

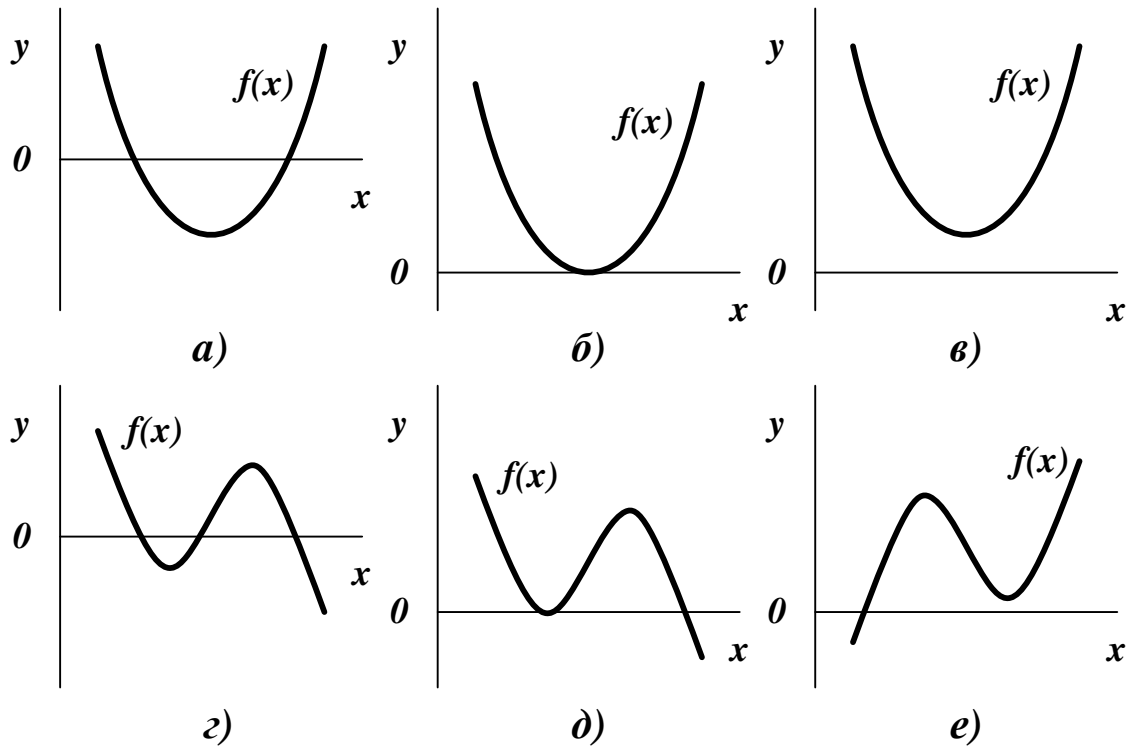


Рисунок 1.5 — Различные варианты расположения корней полиномиальных уравнений: а) $f(x) = A_2(x)$ — два некрatных действительных корня; б) $f(x) = A_2(x)$ — два кратных действительных корня; в) $f(x) = A_2(x)$ — два комплексно-сопряженных корня; г) $f(x) = A_3(x)$ — три некрatных действительных корня; д) $f(x) = A_3(x)$ — один некрatный и два кратных действительных корня; е) $f(x) = A_3(x)$ — один действительный и два комплексно-сопряженных корня

Одним из методов определения действительных и комплексных корней полинома порядка $n > 1$ — **метод Лина** — заключается в его последовательном сокращении на $x^2 + p \cdot x + q$, определении на каждом шаге коэффициентов p и q и аналитическом решении урав-

нения $x^2 + p \cdot x + q = 0$. Уравнение (1.22) представляется в виде:

$$\begin{aligned} & a_n \cdot x^n + a_{n-1} \cdot x^{n-1} + \dots + a_2 \cdot x^2 + a_1 \cdot x + a_0 = \\ & = (x^2 + p \cdot x + q) \cdot (b_n \cdot x^{n-2} + \dots + b_3 \cdot x + b_2) + b_1 \cdot x + b_0, \end{aligned} \quad (1.26)$$

где $b_1 x + b_0$ — остаток от деления на квадратный двучлен. Приравнивая коэффициенты в левой и правой частях (1.26) при равных степенях x , можно записать соотношения:

$$\begin{aligned} a_n &= b_n, \\ a_{n-1} &= b_{n-1} + b_n \cdot p, \\ a_{n-2} &= b_{n-2} + b_{n-1} \cdot p + b_n \cdot q, \\ &\dots \\ a_k &= b_k + b_{k+1} \cdot p + b_{k+2} \cdot q, \\ &\dots \\ a_1 &= b_1 + b_2 \cdot p + b_3 \cdot q, \\ a_0 &= b_0 + b_2 \cdot q. \end{aligned} \quad (1.27)$$

Если в выражение $x^2 + p \cdot x + q$ в качестве x подставить корни (1.22), то остаток от деления будет равен нулю ($b_1 = b_0 = 0$). Значения b_k можно последовательно рассчитать по формулам:

$$\begin{aligned} b_n &= a_n, \\ b_{n-1} &= a_{n-1} - b_n \cdot p, \\ b_{n-2} &= a_{n-2} - b_{n-1} \cdot p - b_n \cdot q, \\ &\dots \\ b_k &= a_k - b_{k+1} \cdot p - b_{k+2} \cdot q, \\ &\dots \\ b_1 &= a_1 - b_2 \cdot p - b_3 \cdot q = 0, \\ b_0 &= a_0 - b_2 \cdot q = 0. \end{aligned} \quad (1.28)$$

Алгоритм метода следующий.

Шаг 1. Задание коэффициентов a_k , $k = 0, \dots, n$ и точности ε .

Шаг 2. Задание начальных приближений p и q .

Шаг 3. Расчет коэффициентов b_k , $k = n, \dots, 2$ по формулам (1.28).

Шаг 4. Расчет по двум последним уравнениям (1.28) новых значений p и q :

$$q = \frac{a_0}{b_2}, \quad p = \frac{a_1 - b_3 \cdot q}{b_2}. \quad (1.29)$$

Пересчет p и q (шаги 3 и 4) повторяется до тех пор, пока их значения не определятся с заданной точностью.

Шаг 5. Определение пары действительных или комплексно-сопряженных корней полинома аналитическим решением уравнения $x^2 + p \cdot x + q = 0$.

Шаг 6. Сокращение полинома на $x^2 + p \cdot x + q$:

$$a_k = b_{k+2}, \quad k = 0 \dots n - 2, \quad n = n - 2. \quad (1.30)$$

Шаги 2...6 повторяются до тех пор, пока не будут определены все корни уравнения (1.22). Если исходный полином имеет нечетную степень, то последний действительный корень определяется аналитически.

В процессе понижения степени полинома коэффициенты b_k вычисляются с погрешностью, определяемой разрядностью аппаратных или программных средств, что существенно влияет на значения корней.

Пример Уилкинсона. Пусть дано полиномиальное уравнение:

$$(x - 1) \cdot (x - 2) \cdot \dots \cdot (x - 20) = x^{20} - 210 \cdot x^{19} + \dots = 0.$$

Его корни очевидны — 1, 2, 3, 4, ... 20. Решение этой задачи программными средствами (например, с помощью **MathCAD**), в которых числовые константы задаются с погрешностью $\approx 10^{-16}$, содержит только четыре действительных значения 1, 2, 3, 3.91. Остальные компоненты решения будут сопряженными комплексными числами.

Вычислительный процесс рекомендуется начинать с определения меньших по модулю корней (выбирать начальные приближения 0, ± 1 и т. п.), чтобы сразу удалить их из уравнения до того, как накопится существенная ошибка.

1.5 Решение систем нелинейных уравнений

Системы нелинейных уравнений имеют вид:

$$F(x) = 0, \quad (1.31)$$

где

$$X = \begin{bmatrix} x_1 \\ \dots \\ x_n \end{bmatrix} \text{ — вектор-столбец неизвестных,}$$

$$F(X) = \begin{bmatrix} f_1(X) \\ \dots \\ f_m(X) \end{bmatrix} \text{ — векторная функция уравнений системы.}$$

Если $m = n$, система (1.31) считается **определенной**, если $m > n$ — **переопределенной**, если $m < n$ — **недоопределенной**. У недоопределенных систем однозначно находятся только m значений X , а остальные считаются произвольными (обычно, чтобы получить вектор решений минимальной длины, их считают нулевыми). В дальнейшем рассматриваются только методы решения определенных систем.

Для нахождения корней систем вида (1.31) обычно используют *поисковые методы*, которые можно записать в обобщенной форме:

$$\frac{B^{(k+1)}}{\tau^{(k+1)}} \cdot [X^{(k+1)} - X^{(k)}] + F[X^{(k)}] = 0, \quad (1.32)$$

где k — номер итерации, $B^{(k+1)}$ — некоторая матрица полного ранга, форма которой определяет алгоритм метода, $\tau^{(k+1)}$ — итерационный параметр, повышающий скорость сходимости. Если B и τ не зависят от k , метод считают *стационарным*. Если $B = I$ (I — единичная матрица), метод считают *явным*. Явные методы обычно обеспечивают более низкую скорость сходимости.

Алгоритмы решения систем нелинейных уравнений являются

естественным расширением одномерных вычислительных схем. Из (1.32) можно получить их обобщенную итерационную формулу:

$$X^{(k+1)} = X^{(k)} - \tau^{(k+1)} \cdot [B^{(k+1)}]^{-1} \cdot F[X^{(k)}]. \quad (1.33)$$

В зависимости от вида матрицы B и значений τ различают следующие методы.

Итерационные формулы **метода простых итераций** получают-ся путем явного выражения X из (1.31):

$$X^{(k+1)} = \Phi[X^{(k)}]. \quad (1.34)$$

Итерации сходятся только в том случае, если для евклидовой длины матрицы

$$\Phi'(X) = \begin{bmatrix} \frac{\partial \phi_1(X)}{\partial x_1} & \dots & \frac{\partial \phi_1(X)}{\partial x_n} \\ \dots & \dots & \dots \\ \frac{\partial \phi_n(X)}{\partial x_1} & \dots & \frac{\partial \phi_n(X)}{\partial x_n} \end{bmatrix}$$

выполняется условие $\|\Phi'(X)\| < 1$. Вариантом данного алгоритма можно считать **метод Гаусса-Зейделя**:

$$\begin{cases} x_1^{(k+1)} = \phi_1[x_1^{(k)}, x_2^{(k)}, \dots, x_n^{(k)}], \\ x_2^{(k+1)} = \phi_2[x_1^{(k+1)}, x_2^{(k)}, \dots, x_n^{(k)}], \\ \dots \\ x_i^{(k+1)} = \phi_i[x_1^{(k+1)}, \dots, x_{i-1}^{(k+1)}, x_i^{(k)}, \dots, x_n^{(k)}], \\ \dots \\ x_n^{(k+1)} = \phi_n[x_1^{(k+1)}, \dots, x_{n-1}^{(k+1)}, x_n^{(k)}]. \end{cases} \quad (1.35)$$

В **методе релаксации** считается, что $B^{(k+1)} = I$, $\tau^{(k+1)} = \tau$:

$$X^{(k+1)} = X^{(k)} - \tau \cdot F[X^{(k)}]. \quad (1.36)$$

Значение константы τ выбирается из условия сходимости:

$$\begin{aligned}\Phi(X) &= X - \tau \cdot F(X), \\ \|\Phi'(X)\| &= \|I - \tau \cdot J(X)\| < 1,\end{aligned}\tag{1.37}$$

где

$$J(X) = \begin{bmatrix} \frac{\partial f_1(X)}{\partial x_1} & \dots & \frac{\partial f_1(X)}{\partial x_n} \\ \dots & \dots & \dots \\ \frac{\partial f_n(X)}{\partial x_1} & \dots & \frac{\partial f_n(X)}{\partial x_n} \end{bmatrix} \text{ — матрица Якоби.}$$

Метод Ньютона для уточнения значения корней использует линейное разложение функций $F(X)$ по формуле Тейлора в окрестности точки $X^{(k)}$:

$$\begin{cases} f_1[X^{(k+1)}] = f_1[X^{(k)}] + \sum_{i=1}^n \left\{ \frac{\partial f_1}{\partial x_i} \right\}^{(k)} \cdot [x_i^{(k+1)} - x_i^{(k)}], \\ \dots \\ f_n[X^{(k+1)}] = f_n[X^{(k)}] + \sum_{i=1}^n \left\{ \frac{\partial f_n}{\partial x_i} \right\}^{(k)} \cdot [x_i^{(k+1)} - x_i^{(k)}]. \end{cases}\tag{1.38}$$

В соответствии с (1.31) левые части этих уравнений должны обращаться в θ . Тогда система уравнений (1.38) в матричной форме примет вид:

$$J[X^{(k)}] \cdot [X^{(k+1)} - X^{(k)}] + F[X^{(k)}] = \theta,\tag{1.39}$$

что соответствует $B^{(k+1)} = J[X^{(k)}]$ и $\tau^{(k+1)} = I$. Итерационную схему определяет формула:

$$X^{(k+1)} = X^{(k)} - J^{-1}[X^{(k)}] \cdot F[X^{(k)}].\tag{1.40}$$

Если вычисление и обращение матрицы Якоби затруднено, то метод Ньютона может быть модифицирован (в ущерб сходимости):

$$X^{(k+1)} = X^{(k)} - J^{-1}[X^{(0)}] \cdot F[X^{(k)}]. \quad (1.41)$$

Для повышения устойчивости и скорости работы алгоритма формулу (1.40) можно дополнить параметром:

$$X^{(k+1)} = X^{(k)} - \tau^{(k+1)} \cdot J^{-1}[X^{(k)}] \cdot F[X^{(k)}]. \quad (1.42)$$

Методы решения систем нелинейных уравнений обладают всеми достоинствами и недостатками одномерных вычислительных схем, рассмотренных в п. 1.3. Успех их работы во многом определяется удачным выбором начального приближения $X^{(0)}$, которое должно быть достаточно близким к точному решению.

Работа поисковых методов продолжается до выполнения одного из двух (или обоих сразу) условий, аналогичных (1.4) и (1.5):

$$\|F[X^{(k)}]\| < \varepsilon \cdot \left\{ 1 + \|F[X^{(k)}]\| \right\}, \quad (1.43)$$

$$\|X^{(k)} - X^{(k-1)}\| < \sqrt{\varepsilon} \cdot \left\{ 1 + \|X^{(k)}\| \right\}. \quad (1.44)$$

2 РЕШЕНИЕ НЕЛИНЕЙНЫХ ЗАДАЧ В MathCAD

Для решения одного уравнения с одним неизвестным используется функция *root*, основанная на методе секущих.

Имя функции	Возвращается...
<i>root(f(x), x)</i>	скалярное значение, при котором $f(x)$ обращается в 0 . Первый аргумент — скалярная функция или выражение. Второй аргумент — скалярное начальное приближение корня.

Если $f(x)$ имеет несколько корней, то, задавая различные начальные приближения, можно определить их все. Если корни располагаются близко друг к другу, и один из них $x = a$ уже опре-

делен, то для нахождения остальных корней целесообразнее решать эквивалентную задачу:

$$h(x) = \frac{f(x)}{x - a} = 0.$$

Если $f(x)$ имеет малый наклон в окрестности корня, функция *root* может дать очень грубое решение. В таких случаях рекомендуется произвести замену $f(x)$ на функцию:

$$g(x) = \frac{f(x)}{\frac{d}{dx} f(x)}.$$

Если функция *root* не может найти решение, возвращается начальное приближение корня.

Для вычисления корней полинома рекомендуется функция *polyroots*, не требующая задания начального приближения.

Имя функции	Возвращается...
<i>polyroots</i> (V)	вектор длины n , содержащий все действительные и комплексные корни полинома степени n . V — вектор длины $n+1$, содержащий действительные и комплексные коэффициенты полинома.

Примеры использования функций *root* и *polyroots* показаны на рисунке 2.1.

MathCAD позволяет решать системы с максимальным числом уравнений и неизвестных, равным **50**. Для этого используются функции *Find* и *Minerr* и решающий блок *Given*.

Имя функции	Возвращается...
<i>Find</i> (x_1, x_2, \dots) <i>Minerr</i> (x_1, x_2, \dots)	решение системы уравнений. Число уравнений должно быть равно числу неизвестных.

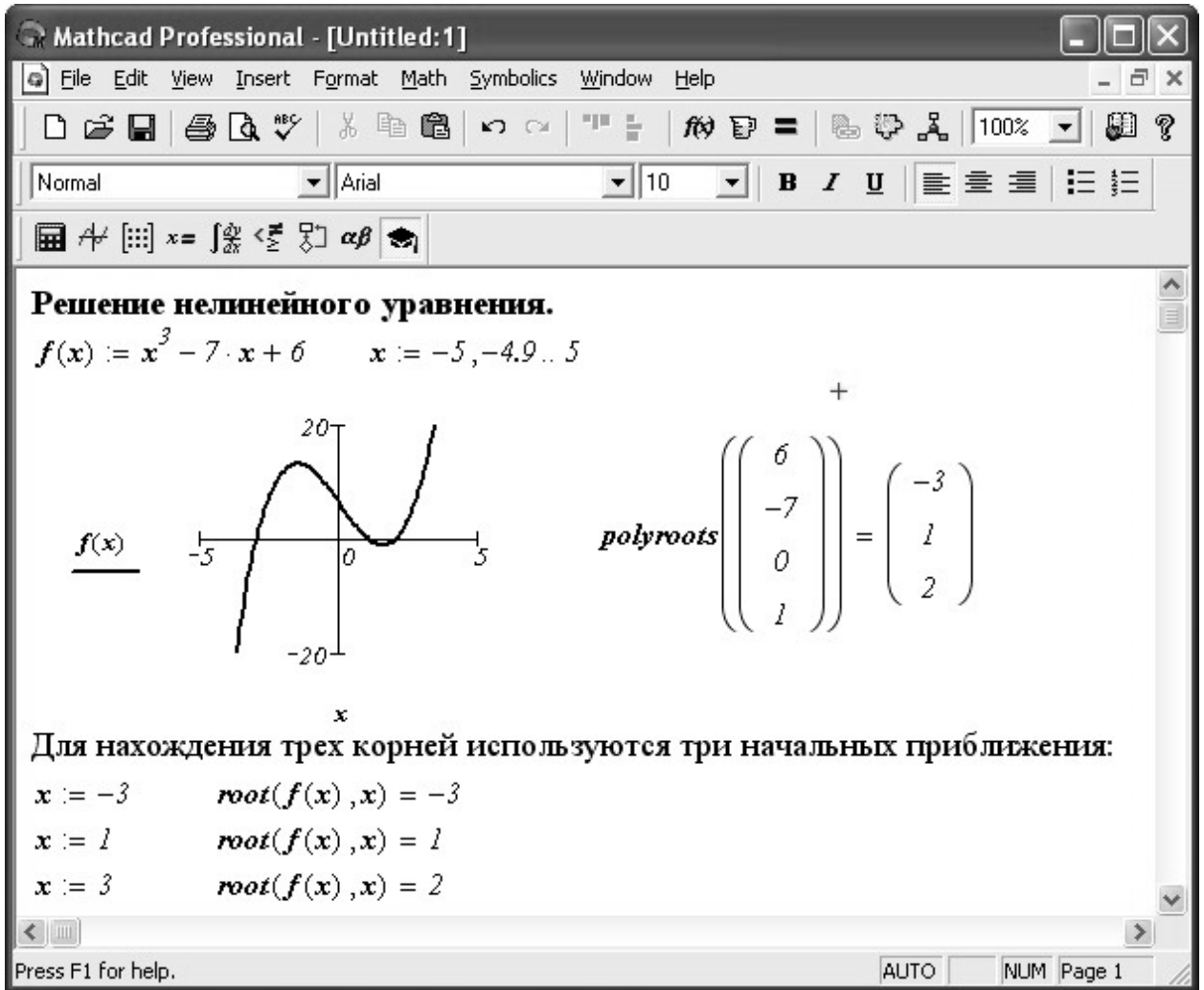


Рисунок 2.1 — Использование функций *root* и *polyroots*

Решение системы производится в следующем порядке:

- задаются начальные приближения для всех неизвестных, входящих в систему;
- открывается блок **Given** (для набора ключевого слова можно использовать любой шрифт, прописные и строчные буквы);
- ниже ключевого слова **Given** вводятся все уравнения и неравенства системы (порядок произвольный, для набора знаков логических операций рекомендуется использовать соответствующую палитру инструментов);
- вводится любое выражение, содержащее функцию **Find** (для набора ключевого слова можно использовать любой шрифт,

прописные и строчные буквы).

Внутри решающего блока *Given* не допускается использовать:

- операции присваивания;
- дискретный аргумент и выражения, содержащие дискретный аргумент в любой форме;
- ограничения вида $a \neq b$ и $a < b < c$;
- внутренние решающие блоки.

Если функция *Find* имеет один аргумент, возвращается корень уравнения, включенного в блок *Given*. Если эта функция имеет несколько аргументов, возвращается вектор корней системы уравнений, включенных в решающий блок.

Полученное решение можно вывести на экран, используя выражение вида $\mathit{Find}(\dots) = \dots$ или присвоить скалярной переменной или вектору с помощью конструкции $\mathit{var} := \mathit{Find}(\dots)$. Можно также определить с помощью *Find* другую функцию (это удобно для многократного решения параметризованных задач).

Примеры решения систем нелинейных уравнений показаны на рисунках 2.2 и 2.3.

Если задача сформулирована некорректно, или на какой либо итерации *MathCAD* не может найти более приемлемое решение, то вычисления прекращаются. Основные причины возникновения ошибок следующие:

- поставленная задача не имеет решения — рекомендуется изменить ее формулировку;
- число уравнений меньше числа переменных — в ряде случаев рекомендуется добавить фиктивные уравнения вида $I = I$ и т. п.;
- достигнута точка, из которой не может быть получено более точное приближение к решению — рекомендуется изменить начальные приближения;
- достигнут предел точности вычислений, на которые начинают влиять ошибки округления, — изменить значение встро-

енной переменной TOL (не менее 10^{-15}).

Mathcad Professional - [Untitled:1]

File Edit View Insert Format Math Symbolics Window Help

Normal Arial 10 B I U

**Решение системы нелинейных уравнений
(определение точки пересечения окружности и прямой).**

$x := 1 \quad y := 1$ - начальные приближения

Given

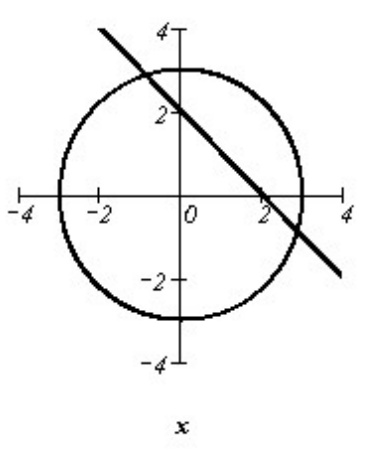
$x^2 + y^2 = 9$ - окружность + $\frac{\sqrt{9-x^2}}$

$x + y = 2$ - прямая $-\frac{\sqrt{9-x^2}}$

$x \leq 1 \quad y > 2$ - ограничения $\frac{2-x}{}$

$\begin{pmatrix} X \\ Y \end{pmatrix} := \mathbf{Find}(x, y)$

$\begin{pmatrix} X \\ Y \end{pmatrix} = \begin{pmatrix} -0.871 \\ 2.871 \end{pmatrix}$ - решение



Press F1 for help. AUTO NUM Page 1

Рисунок 2.2 — Использование функции *Find*

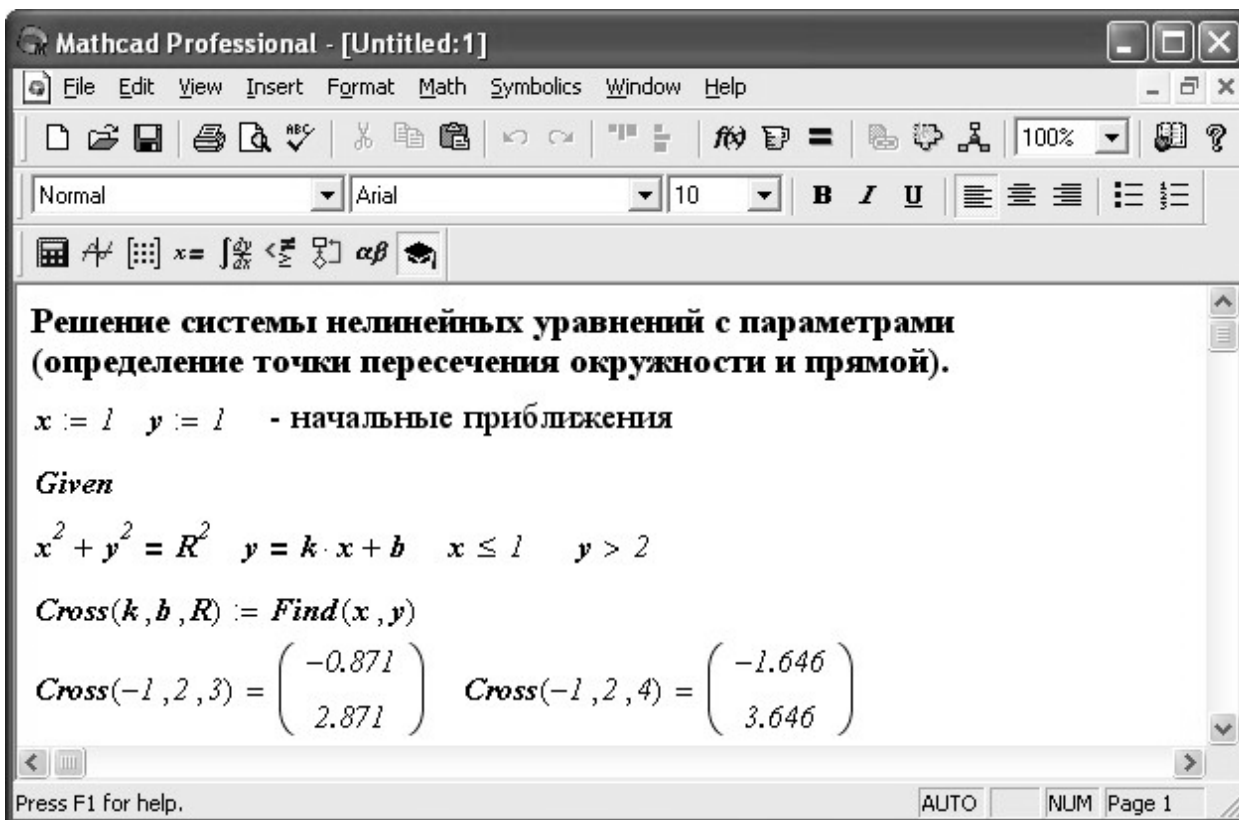


Рисунок 2.3 — Определение функции с помощью *Find*

Функция *Minerr* работает аналогично *Find*. Основное различие следующее. Если в процессе поиска решения уточнить его текущее приближение невозможно, то сообщения об ошибке не выдается, и возвращается это приближение.

Функцию *Minerr* удобно использовать для минимизации т. н. «функции невязки» при решении задач аппроксимации (приближения) наборов данных аналитическими зависимостями. Пример ее применения показан на рисунке 2.4.

3 ПОРЯДОК ВЫПОЛНЕНИЯ РАБОТЫ

Работа заключается в получении решения нелинейных задач средствами системы *MathCAD* и указанными итерационными методом. Работа выполняется в следующем порядке.

1. Для заданного нелинейного уравнения самостоятельно выбирается начальное приближение корня и оцениваются границы интервала локализации корня (рекомендуется построить график

функции). Находится решение уравнения средствами *MathCAD*, которое в дальнейшем будет использоваться в качестве точного.

2. Заданными интервальным и поисковым методами рассчитываются первые *10-15* приближенных значений корня. Оценивается сходимость методов к точному решению.

3. Для заданной системы нелинейных уравнений самостоятельно выбираются начальные приближения корней. Находится решение системы уравнений средствами *MathCAD*, которое в дальнейшем будет использоваться в качестве точного. Систему уравнений дополнить условиями, исключающими возникновение неопределенности при расчете функций.

4. Заданным методом рассчитываются первые *10-15* приближенных значений решения системы. Оценивается сходимость методов к точному решению.

Правила реализации алгоритмов приведены в [5]. Примеры выполнения заданий представлены в приложениях Б и В.

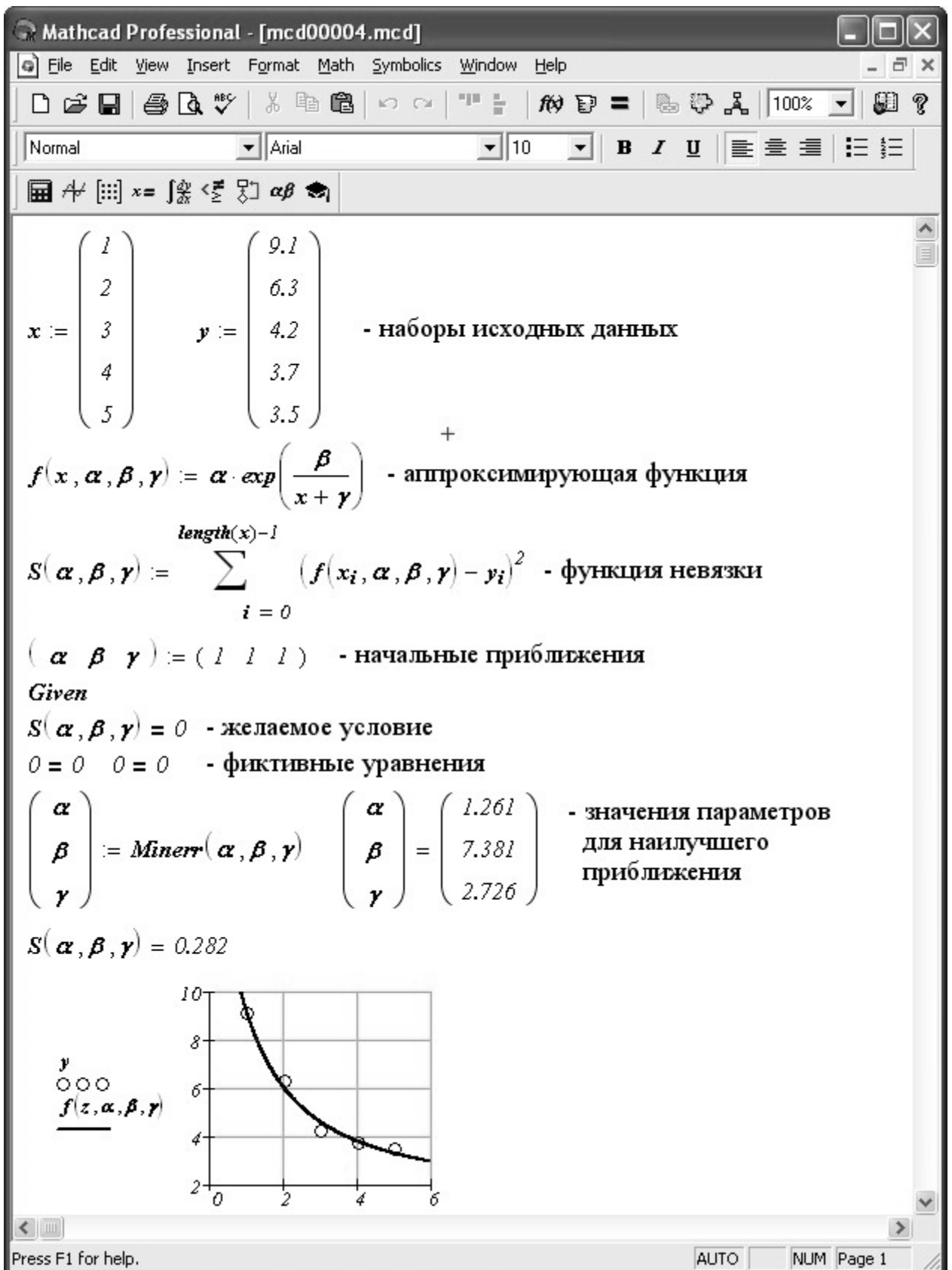


Рисунок 2.4 — Использование функции *Minerr* для решения регрессионной задачи

КОНТРОЛЬНЫЕ ВОПРОСЫ

1. Какие существуют методы решения нелинейных уравнений?
2. На чем основывается работа интервальных алгоритмов решения нелинейных уравнений? В чем сущность метода половинного деления, метода хорд, метода обратной параболической интерполяции? Что определяет скорость сходимости методов?
3. На чем основывается работа поисковых алгоритмов решения нелинейных уравнений? В чем сущность метода простых итераций, метода релаксации, метода Ньютона, метода секущих? Что определяет скорость сходимости методов?
4. Как находятся действительные и комплексные корни полиномиальных уравнений?
5. На чем основывается работа поисковых алгоритмов решения систем нелинейных уравнений? В чем сущность метода простых итераций, метода релаксации, метода Ньютона? Что определяет скорость сходимости методов?
6. Как решаются нелинейные задачи средствами *MathCAD*?

ЛИТЕРАТУРА

1. Самарский А.А., Гулин А.В. Численные методы. – М.: Наука, 1989.
2. Турчак Л.И. Основы численных методов. – М.: Наука, 2003.
3. Канахен Д., Моулер К., Нэш С. Численные методы и программное обеспечение. – М.: Мир, 1998.
4. Плис А.И., Сливина Н.А. MathCAD 2000. Математический практикум. – М.: Финансы и статистика, 2003.
5. Болдырев Д.В. Решение алгоритмических задач средствами системы MathCAD. — Невинномысск: изд-во НТИ (филиала) ГОУ ВПО «СевКавГТУ», 2005.

ПРИЛОЖЕНИЕ А

ВАРИАНТЫ ЗАДАНИЙ ДЛЯ ВЫПОЛНЕНИЯ ЛАБОРАТОРНЫХ РАБОТ

№	Уравнение	Методы решения
1	$tg(x) - \frac{1}{3} \cdot tg^3(x) + \frac{1}{5} \cdot tg^5(x) - \frac{1}{3} = 0$	половинного деления, простой итерации
2	$0,6 \cdot 3^x - 2,3 \cdot x - 3 = 0$	хорд, релаксации
3	$3 \cdot \sin(\sqrt{x}) + 0,35 \cdot x - 3,8 = 0$	интерполяции, Ньютона
4	$arccos(x) - \sqrt{1 - 0,3 \cdot x^3} = 0$	половинного деления, секущих
5	$exp(x) + ln(x) - 10 \cdot x = 0 = 0$	хорд, простой итерации
6	$\sqrt{1 - 0,4 \cdot x} - arcsin(x) = 0$	интерполяции, релаксации
7	$1 - x + \sin(x) - ln(1 + x) = 0$	половинного деления, Ньютона
8	$x + \sqrt{x} + \sqrt[3]{x} - 2,5 = 0$	хорд, секущих
9	$cos\left(\frac{2}{x}\right) - 2 \cdot \sin\left(\frac{1}{x}\right) + \frac{1}{x} = 0$	интерполяции, простой итерации
10	$x - 2 + \sin\left(\frac{1}{x}\right) = 0$	половинного деления, релаксации
11	$\sin(ln(x)) - \cos(ln(x)) + 2 \cdot ln(x) = 0$	хорд, Ньютона
12	$x + \cos(x^{0,6} + 2) = 0$	интерполяции, секущих
13	$3 \cdot x - 14 + exp(x) - exp(-x) = 0$	половинного деления, простой итерации
14	$\sin(x^2) + \cos(x^2) - 10 \cdot x = 0$	хорд, релаксации
15	$cos(x) - exp\left(-\frac{x^2}{2}\right) + x - 1 = 0$	интерполяции, Ньютона

№	Уравнение	Методы решения
16	$2 \cdot x \cdot \sin(x) - \cos(x) = 0$	половинного деления, секущих
17	$x^2 - \ln(1+x) - 3 = 0$	хорд, простой итерации
18	$x \cdot \operatorname{tg}(x) - \frac{1}{3} = 0$	интерполяции, релаксации
19	$\exp(x) + \sqrt{1 + \exp(2 \cdot x)} - 2 = 0$	половинного деления, Ньютона
20	$\operatorname{tg}\left(\frac{x}{2}\right) - \operatorname{ctg}\left(\frac{x}{2}\right) + x = 0$	хорд, секущих

ПРОДОЛЖЕНИЕ ПРИЛОЖЕНИЯ А

№	Система уравнений	Методы решения
1, 11	$\begin{cases} 0,25 \cdot x_1^3 + x_2 = 1,25 \\ \sqrt{1-x_1} - \operatorname{tg}(x_2) = 0 \end{cases}$	простой итерации
2, 12	$\begin{cases} 0,1 \cdot x_1^2 - x_2 \cdot \ln(x_1) = 0 \\ \ln(x_1) - x_2 = -1,8 \end{cases}$	Гаусса-Зейделя
3, 13	$\begin{cases} \exp(x_1) - \exp(-x_2) = -2 \\ 3 \cdot \sin(\sqrt{x_1}) + 0,35 \cdot x_2 = 3,8 \end{cases}$	релаксации
4, 14	$\begin{cases} x_1 + \sin(x_2^{-1}) = 2 \\ x_1 - \sin(x_1) + \ln(1+x_2) = 1 \end{cases}$	Ньютона
5, 15	$\begin{cases} x_1^2 - \ln(1+x_2) = 3 \\ 3 \cdot x_1 - \sin(0,4 \cdot x_2) = 1 \end{cases}$	простой итерации
6, 16	$\begin{cases} \sqrt{1-0,4 \cdot x_1} - \arcsin(x_2) = 0 \\ x_1 + \cos(x_2^{0,6} + 2) = 0 \end{cases}$	Гаусса-Зейделя
7, 17	$\begin{cases} x_1 - 4 \cdot \ln(x_2) = 5 \\ x_1^2 + 10 \cdot x_2 = 10 \end{cases}$	релаксации
8, 18	$\begin{cases} \operatorname{arctg}(x_1) - x_2 = -0,4 \\ \arccos(x_1) - \sqrt{1-0,3 \cdot x_2^3} = 0 \end{cases}$	Ньютона
9, 19	$\begin{cases} \sqrt{1-x_1} - \cos(\sqrt{1-x_2}) = 0 \\ 2 \cdot x_1 \cdot \sin(x_1) - \cos(x_2) = 0 \end{cases}$	релаксации
10, 20	$\begin{cases} \exp(x_1) + \sqrt{1 + \exp(2 \cdot x_2)} = 5 \\ x_1 + \exp(x_1) - \exp(-x_2) = 0 \end{cases}$	Ньютона

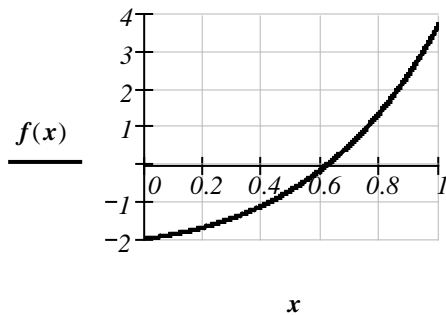
ПРИЛОЖЕНИЕ Б

ПРИМЕРЫ РЕШЕНИЯ НЕЛИНЕЙНЫХ УРАВНЕНИЙ (документ MathCAD)

Заданное уравнение:

$$f(x) := \exp(-x) + \exp(2 \cdot x) - 4$$

$$g(x) := \frac{d}{dx} f(x)$$



Граничные значения производной $f'(x)$
(для метода релаксации)

$$g(0) = 1.0000$$

$$g(1) = 14.4102$$

Интервал локализации корня (определяется по перемене знака функции):

$$(a \ b) := (0 \ 1) \quad (f(a) \ f(b)) = (-2.0000 \ 3.7569)$$

Начальное приближение корня:

$$z := 1$$

Решение средствами MathCAD (используется как точное решение):

$$\text{root}(f(z), z) = 0.6210$$

Решение методом половинного деления:

$$\text{Bisection}(a, b) := \left| \begin{array}{l} \text{for } k \in 0..10 \\ \left| \begin{array}{l} x_k \leftarrow \frac{a+b}{2} \\ a \leftarrow x_k \text{ if } f(a) \cdot f(x_k) > 0 \\ b \leftarrow x_k \text{ otherwise} \end{array} \right. \\ x \end{array} \right.$$

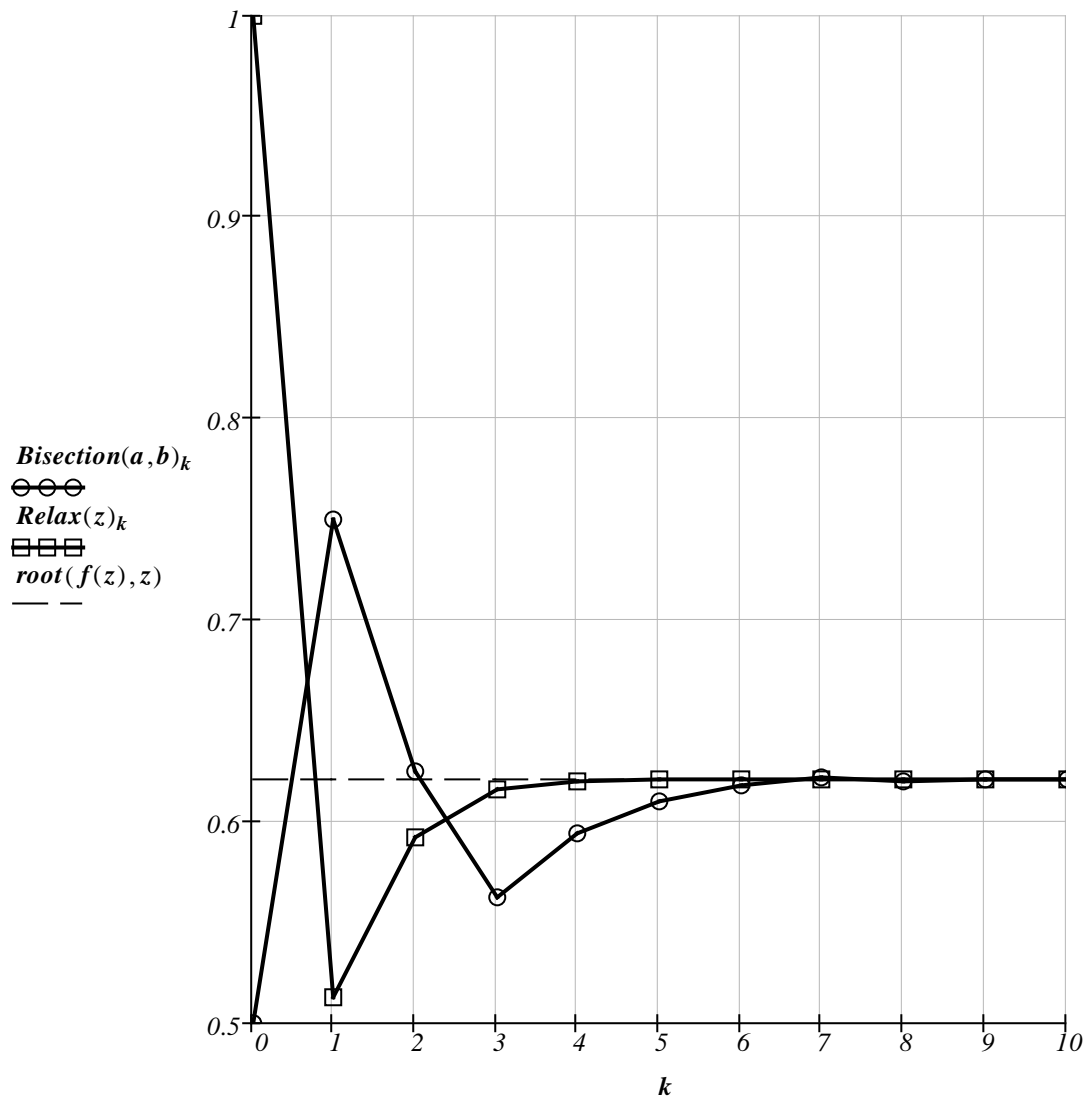
Решение методом релаксации:

$$\tau := \frac{2}{|g(0)| + |g(1)|}$$

$$\text{Relax}(z) := \left| \begin{array}{l} x_0 \leftarrow z \\ \text{for } k \in 1..10 \\ x_k \leftarrow x_{k-1} - \tau \cdot f(x_{k-1}) \\ x \end{array} \right.$$

Сходимость к точному решению:

$k := 0..10$



ПРИЛОЖЕНИЕ В

ПРИМЕРЫ РЕШЕНИЯ СИСТЕМ НЕЛИНЕЙНЫХ УРАВНЕНИЙ

(документ MathCAD)

ORIGIN ≡ 1

Заданная система:

$$F(x) := \begin{bmatrix} (x_1)^2 + (x_2)^2 - 9 \\ x_1 + x_2 - 2 \end{bmatrix}$$

Начальное приближение корней:

$$x := \begin{pmatrix} 1 \\ 2 \end{pmatrix}$$

Решение средствами MathCAD (используется как точное решение):

Given

$$F(x) = 0$$

$$z := \mathbf{Find}(x) \quad z^T = (-0.871 \quad 2.871)$$

Решение методом Ньютона:

$$J(x) := \begin{pmatrix} 2 \cdot x_1 & 2 \cdot x_2 \\ 1 & 1 \end{pmatrix}$$

$$X^{(1)} := x$$

$$k := 1..10$$

$$X^{(k+1)} := X^{(k)} - J(X^{(k)})^{-1} \cdot F(X^{(k)})$$

Сходимость к точному решению:

